

[6] Taylor H.F. // Appl. Opt. 1977. V. 16. № 3.
P. 711-716.

[7] Marom E., Rameg O.G., Russchini S. // IEEE J. Quantum Electron. 1984.
V. QE-20. N 9. P. 1311-1319.

Институт общей физики
АН СССР,
Москва

Поступило в Редакцию
9 июля 1990 г.

Письма в ЖТФ, том 16, вып. 18

26 сентября 1990 г.

04

© 1990

О ВЛИЯНИИ ВНЕШНЕГО МАГНИТНОГО ПОЛЯ
НА ДВИЖЕНИЕ КАТОДНОГО ПЯТНА
ВАКУУМНОЙ ДУГИ

Е.А. Литвинов, Г.А. Месяц,
А.Г. Парфенов, Е.Ю. Садовская

Известно, что при наличии внешнего тангенциального к катоду магнитного поля катодное пятно вакуумной дуги перемещается в „антиамперовом” направлении, т.е. в направлении, противоположном вектору $[IB]$, где I – ток дуги, B – индукция внешнего магнитного поля [1]. Если магнитное поле B направлено под углом θ_B к катоду, т.е. имеется нормальная к катоду составляющая B_\perp , то направленное движение пятна составляет некоторый угол φ (так называемый „угол Робсона”), отсчитываемый от направления при $B_\perp = 0$ (зависимость $\varphi(\theta_B)$ из работ [2, 3] показана на рис. 1).

Закономерности движения пятна в магнитном поле неоднократно привлекали внимание исследователей, однако общепризнанного объяснения этих закономерностей до сих пор не существует [1].

В работе [4] проведено численное моделирование процесса разлета плазменной струи из эмиссионного центра (ЭЦ) катодного пятна и показано, что в окрестности ЭЦ всегда существует кольцевой ток электронов, движущихся из плазмы на катод и замыкающийся через эмиссионную зону. В настоящей работе проанализировано взаимодействие кольцевого тока в окрестности ЭЦ с внешним магнитным полем.

Предложена следующая модель. Предполагается, что движение обратных электронов происходит по окружности, и кольца тока образуют торoidalную поверхность, осью симметрии которой является перпендикуляр к поверхности катода, проходящий через центр катодного пятна (рис. 2). Если рассматривать взаимодействие

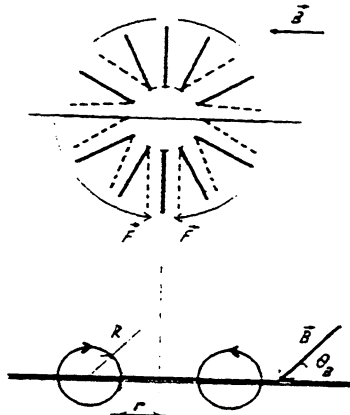
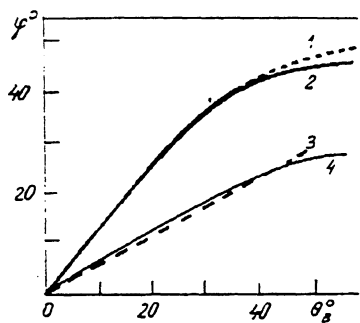


Рис. 1. Угол Робсона φ в зависимости от угла наклона внешнего магнитного поля к катоду θ_B : 1 - эксперимент [2] (Al , 0.15 Т, 10^{-1} Тор); 2 - формула (1) при $R \gg r$; 3 - эксперимент [3] (Mo , C , 0.37 Т, $10-300$ А, 10^{-9} Тор); 4 - формула (1) при $r=R$.

Рис. 2. Схематичное расположение токовых контуров вокруг эмиссионного центра. Вид сверху и сбоку. Стрелки на колышах показывают направление тока. Направление движения электронов - противоположное.

внешнего магнитного поля с током обратных электронов с точки зрения поведения рамки с током в магнитном поле, то нетрудно заметить, что суммарный момент, действующий на каждое отдельное кольцо, будет иметь направление, показанное на рис. 2 (F), а именно, будет стремиться „развернуть” токовые кольца в направлении $[B \times I]$, т.е. в „антиамперовом” направлении (смещенные кольца показаны пунктирными линиями). Что касается магнитного поля „прямого” тока, то, очевидно, его симметрия не нарушается.

Перемещение пятна есть циклический процесс возникновения и отмирания эмиссионных центров [5]. Направление движения пятна – это направление, в котором возникает новый эмиссионный центр вместо старого. В [5] показано, что процесс возникновения новых ЭЦ связан с „обратным” электронным током; там, где этот ток сильнее, возникают преимущественные условия для нового ЭЦ. Следовательно, в нашем случае направление движения пятна – это место сгущения линий обратного тока.

Таким образом, вследствие воздействия тангенциального магнитного поля следует ожидать наибольшей плотности тока обратных электронов в направлении $[B \times I]$ от центра катодного пятна,

соответственно в этом же направлении будет возрастать вероятность возникновения нового эмиссионного центра.

Если внешнее магнитное поле направлено под углом θ_B к поверхности катода, то рамки обратных токов, кроме смещения в направлении $[B \times I]$, будут разворачиваться в пространстве таким образом, чтобы плоскость рамки была перпендикулярна вектору B . В этом случае область максимального сгущения линий тока будет смещена относительно направления $[B \times I]$. Угол φ , образованный между этим направлением и лучом, проведенным из центра пятна через проекцию точки с максимальной плотностью тока, будет равен

$$\varphi = \arctg \left\{ [R/(R+r)] \cdot \cos(\pi/2 - \theta_B) \right\}, \quad (1)$$

где R – радиус токового кольца, r – радиус эмиссионной зоны катодного пятна. Случай $R \gg r$ соответствует маленьким кратерам на катоде, характерным для грязной поверхности. Полученная зависимость $\varphi(\theta_B)$ в этом случае хорошо совпадает с экспериментальной кривой Робсона [2] (масляный вакуум 10^{-1} Тор). В то же время на чистой поверхности размер кратеров (которые отражают размер эмиссионной зоны) на порядок больше, и, согласно результатам [4], они становятся сравнимы с радиусом токовых колец. При $r=R$ зависимость $\varphi(\theta_B)$ хорошо совпадает с экспериментальной кривой Юттиера [3] (рис. 2), которая получена для чистой поверхности (сверхвысокий вакуум 10^{-9} Тор).

Хорошее объяснение угла Робсона кольцевым электронным током может служить убедительным свидетельством его существования.

Список литературы

- [1] Вакуумные дуги / Под ред. Лафферти. М.: Мир, 1982. 430 с.
- [2] Robson A.E. Proc. IV Int. Symp. on Phenomena in Ionized Gases. Uppsala, 1959. 346 p.
- [3] Юттиер Б. Диссертация. Берлин, 1982.
- [4] Литвинов Е.А., Месяц Г.А., Парфенов А.Г. // ДАН СССР. 1990. Т. 310. № 2. С. 344–348.
- [5] Литвинов Е.А., Месяц Г.А., Парфенов А.Г., Федосов А.И. // ЖТФ. 1985. Т. 35. В. 11. С. 2270–2273.

Институт электрофизики
УрО АН СССР,
Свердловск

Поступило в Редакцию
6 мая 1990 г.